

©1995 г.

ОСОБЕННОСТИ ВЫРАЩИВАНИЯ КРИСТАЛЛОВ CdTe ИЗ РАСПЛАВА

O. A. Матвеев, А. И. Терентьев

Физико-технический институт им. А.Ф.Иоффе Российской академии наук,
194021, Санкт-Петербург, Россия

(Получена 14 июля 1994 г. Принята к печати 26 июля 1994 г.)

Обычно на кристаллах CdTe наблюдается изменение свойств по длине слитка. При направленной кристаллизации CdTe из расплава установлено увеличение содержания донора от начала к концу слитка. Доказано, что этим донором является Cd; — мелкий донор, повышающий концентрацию свободных носителей в зоне проводимости. Это происходит вследствие выравнивания состава расплава по длине лодочки естественной конвекцией, вызванной градиентом температуры вдоль расплава. Показано, что уменьшение градиента температуры позволяет снизить разницу в концентрации свободных носителей заряда на концах слитка. Регулирование состава расплава путем изменения давления пара кадмия в процессе кристаллизации (при неизменном градиенте температуры) также позволяет получить выравнивание свободных носителей заряда вдоль слитка.

Методы направленной кристаллизации широко используются для выращивания кристаллов из расплава разлагающихся соединений $A^{IV}B^{IV}$ [1], $A^{III}B^V$ [2–5], $A^{II}B^{VI}$ [6] и непосредственно теллурида кадмия [7–11]. Рост кристалла осуществляется как из расплава, близкого по составу к стехиометрическому [1,2,5,7], так и из расплава, обогащенного нелетучим компонентом соединения [3,4]. При этом кристаллические слитки CdTe получаются сильно неоднородными по длине [9–11]. В ряде этих работ использовалась очевидная возможность управления составом расплава путем изменения давления пара летучего компонента. Однако при этом не учитывалось, что расплав, находясь в градиенте температуры, должен иметь переменный состав по своей длине. Постоянной в расплаве является температура на фронте кристаллизации (т.е. минимальная температура расплава), а максимальная его температура задается условиями эксперимента и даже может быть переменной во времени (в системах с движением фронта кристаллизации за счет снижения мощности печи). Последнее обстоятельство имеет принципиальное значение, поскольку изменение температуры расплава влечет за собой изменение в нем концентрации летучего компонента (например, кадмия в CdTe).

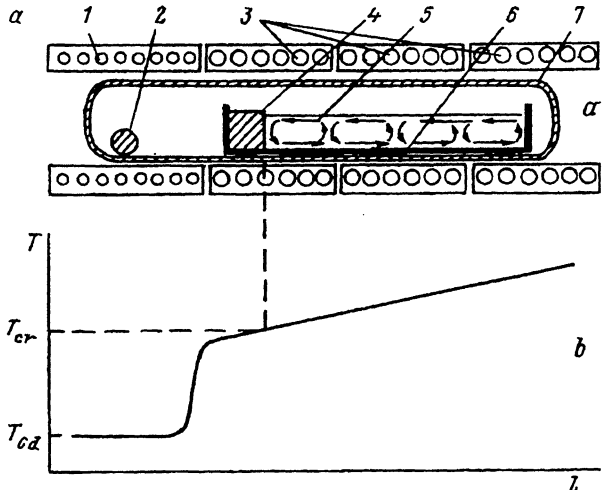


Рис. 1. а — схема установки для выращивания кристаллов CdTe. 1 — холодная зона печи, 2 — кадмий, 3 — зоны горячей печи, 4 — CdTe твердый, 5 — CdTe жидкий, 6 — лодочка, 7 — ампула; б — схема распределения температуры в печах.

Аксидальное изменение свойств кристалла, как показано в настоящей работе, обусловлено главным образом непостоянством состава расплава за счет конвективных потоков в процессе роста. Показано, что при снижении скорости конвективных потоков в расплаве и с помощью регулирования термодинамического состояния фаз газ-расплав-кристалл можно выращивать слитки с однородным полупроводниковыми свойствами. Таким образом, при определенных условиях, даже в случае расплава, находящегося в градиенте температуры на всю длину контейнера, можно обеспечить постоянство состава расплава на фронте кристаллизации во время роста.

Схема системы печей показана на рис. 1,а. Кристаллизация производится снижением во времени температурного градиента вдоль лодочки с расплавом за счет уменьшения мощности печи (рис. 1,б). Расплав, находящийся при разных температурах в равновесии с газовой фазой, характеризуется разным составом по длине лодочки в соответствии с диаграммой состояния соединения [10]. Следует отметить, что величина изменения состава расплава зависит от давления кадмия. Нижняя температура расплава равна температуре затвердевания. Верхняя — определяется выбранным градиентом температуры и длиной лодочки. Давление пара кадмия $P_{Cd} \approx (1/2)$ атм и градиент температуры $\Delta T/l \approx (1/2)$ град/см не представляют опасности для разрушения ампулы или для перелета соединения в холодную зону ампулы. Последнее, как известно, происходит лишь в условиях состояния расплава, близкого по составу к азеотропной точке газ-жидкость [12]. Приведенные выше величины P_{Cd} позволяют получать полуизолирующие кристаллы CdTe при легировании хлором [13,14].

На слитках, выращенных в таких условиях, обнаружено сильное увеличение концентрации электронов от начала к концу слитка (рис. 2, кривые 2, 3). Этот факт обычно объясняет сегрегацией доноров на фронте кристаллизации легирующих атомов Cl_{Te}^+ , атомов неконтролируемой примеси или атомов собственного точечного дефекта Cd_i^+ . Однако данные масс-спектрального анализа не подтверждают первое предположение. Последнее предположение также не правомочно, что

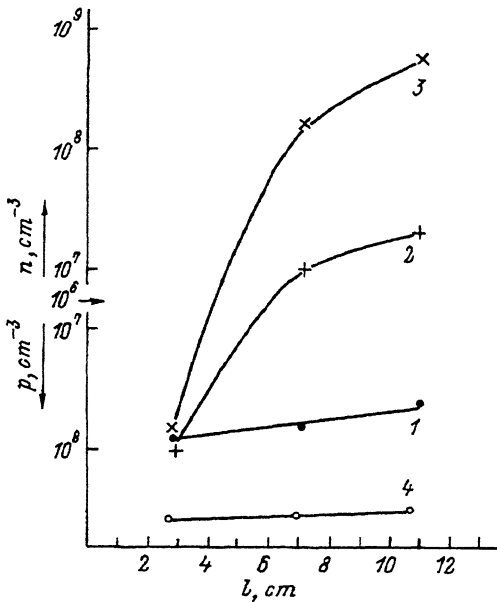


Рис. 2. Концентрация свободных носителей заряда по длине слитка при условиях: 1, 2, 3 — $P_{Cd}(T_{Cd}) = \text{const}$, 4 — $P_{Cd} \neq \text{const}$, $v_{Te} = 1 \text{ град/ч}$; градиент температуры ΔT , град/см: 1 — 0.5, 2, 4 — 1, 3 — 2.

было подтверждено выращиванием кристаллов в условиях, когда состав расплава выбирался равным составу кристалла ($P_{Cd} \approx 1 \text{ атм}$) при весьма малой скорости роста ($v \approx 0.8 \text{ см/ч}$).

Поэтому обогащение кристалла донором от начала к концу слитка мы связываем с обогащением расплава кадмием из паровой фазы по мере роста кристалла: температура расплава на дальнем (горячем) конце лодочки снижается, что приводит к обогащению расплава кадмием. Кривая 3 на рис. 2 отвечает наибольшему градиенту температуры вдоль расплава, что приводит к более сильному увеличению содержания кадмия к концу слитка. Следовательно, состав кристалла, как и должно быть, определяется составом расплава на фронте кристаллизации, но составом, соответствующим не минимальной температуре, т.е. температуре на фронте кристаллизации, а максимальной (или некоторой средней) температуре на горячем конце расплава, которая снижается в процессе выращивания кристалла. Это свидетельствует о том, что происходит выравнивание состава расплава вдоль лодочки и концентрация в нем летучего компонента (кадмия) соответствует температуре горячего конца расплава.

Одинаковый состав расплава в горячей части расплава и на фронте кристаллизации, т.е. по всей его длине, может обеспечиваться лишь массопереносом естественной конвекции, возникающей вследствие продольного градиента температуры. Рассмотрим эффективность этого процесса.

В случае тепло- и массопереноса в длинном горизонтальном сосуде, температуры жидкости на концах которого различны, распределение потоков при естественной конвекции показано на рис. 1, а [15]. По дну контейнера проходит поток от холодного конца (фронта кристаллизации) к более теплому, затем у нагреветого конца он поднимается и идет по поверхности от горячего конца к холодному и там опускается. Кроме того, по всей длине контейнера возникают ячейки длиной L , равной

высоте расплава H , по границам которых существуют потоки, опускающиеся от поверхности вниз и обратные им. Такое сложное движение жидкости делает трудным детальный анализ потоков при термоконвекции. Однако термоконвекцию можно характеризовать важным безразмерным параметром — числом Релея

$$Ra = L^3 \beta g \Delta T / \alpha \nu,$$

где $L \approx 2$ см — длина ячейки, $\beta = 6 \cdot 10^{-6}$ К⁻¹ — коэффициент объемного теплового расширения [13], $g = 9.8$ см/с² — ускорение силы тяжести, ΔT — разность температур на расстоянии L , $\alpha = 5.35 \cdot 10^{-6}$ см²/с — коэффициент температуропроводности [13], $\nu = 0.41$ см²/с — кинематическая вязкость [16].

Считается, что конвективные потоки не возникают пока число Релея ниже некоторой критической величины, теоретическое значение которой $Ra = 1700$ [17]. Ламинарный характер течения сохраняется до величины $Ra \lesssim 10^5$. Единственно устойчивой формой пространственно-периодической конвекции в лодочке является изображенная на рис. 1, а [18]. При этом длина развитого течения, т. е. длина ячейки L , выбирается равной высоте расплава H . Вычисленная величина $Ra = 2930$ свидетельствует о наличии ламинарной конвекции в наших условиях выращивания кристаллов CdTe.

Скорость потоков v слабо зависит от числа Релея ($v \sim (Ra)^{1/2}$) и существенно — от геометрии сосуда. Для горизонтальных ячеек с $L \approx (2/3)H$ на примере воды и этилового спирта при $Ra \approx 2 \cdot 10^4$ были осуществлены модельные наблюдения потоков и определены скорости потоков [19]. Наибольшее значение горизонтальной составляющей скорости не превышало $v \lesssim 0.3$ см/с. В нашем случае можно ожидать несколько меньших величин скорости потока.

Поступавший из более горячего конца лодочки расплав (движущийся вдоль поверхности) обеднен летучим компонентом — кадмием — и должен поглощать кадмий из газовой среды. Типичная величина коэффициента адсорбции $R \approx 10^{-3}$ см³/с [20] достаточна лишь для частичного насыщения расплава кадмием. Перенос поглощенного кадмия поверхностью расплава ко дну лодочки облегчается ячеистым строением потоков конвекций. Насыщенный кадмием расплав (у дна лодочки), поступая к более нагретому концу лодочки, оказывается в перегретом состоянии и может даже кипеть. Таким образом, потоки конвекции в расплаве выравнивают состав расплава в лодочке, создавая у фронта кристаллизации расплав с составом, неравновесным (обедненным кадмием) с газовой фазой.

Подтверждение тому, что равновесие фаз газ–жидкость выполняется наиболее полно в горячей области лодочки и что состав всего объема расплава близок именно к этому равновесному состоянию, было получено определением количества избыточного кадмия в холодной зоне ампулы при замораживании высокотемпературного состояния расплава для разных температур горячего конца лодочки. В процессе роста кристалла по мере уменьшения температуры расплава количество избыточного кадмия в холодной зоне ампулы уменьшалось. Расплав, а следовательно, и вновь вырастающие части кристалла обогащались кадмием по сравнению с началом слитка.

С целью получения слитка одинакового состава целесообразно использовать возможно меньший градиент температуры вдоль расплава, что подтверждается кривой 1 на рис. 2. В этом случае интенсивность перемешивания расплава конвекционными потоками значительно снижается и состав расплава на фронте кристаллизации приближается к своему равновесному значению. Из рис. 2 видно, что при градиенте температуры 2 град/см (кривая 3) концентрация носителей заряда в слитке изменяется в $\approx 10^5$ раз на длине ≈ 8 см (при этом наблюдается даже смена знака проводимости), а при градиенте температуры 0.5 град/см (кривая 1) концентрация носителей заряда изменяется всего в ≈ 1.5 раза на такой же длине слитка, и перехода в *n*-тип, т.е. обогащения кадмием, не происходит.

Наряду с этим можно проводить изменение давления пара кадмия в процессе кристаллизации. Снижение P_{Cd} с понижением температуры расплава на горячем конце лодочки выполнялось так, чтобы растворимость кадмия в расплаве в равновесии с газовой фазой была постоянной. Вследствие этого (даже при градиенте температуры 1 град/см) обеспечивался постоянный состав в слитке, о чем свидетельствуют близкие величины концентрации носителей заряда в начале и конце слитка (рис. 2, кривая 4).

Таким образом, для достижения постоянной концентрации носителей заряда по длине слитка необходимо обеспечить малую скорость конвективных потоков, производящих понижение концентрации летучего компонента в расплаве по сравнению с равновесной его концентрацией. Это может быть достигнуто уменьшением градиента температуры в расплаве, что в свою очередь может оказаться неблагоприятным непосредственно для процесса кристаллизации. Однако градиент температуры 0.3 град/см удовлетворяет этим двум условиям, и слиток получается с большими кристаллическими блоками и с практически постоянной концентрацией носителей заряда по длине. Управление снижением P_{Cd} в процессе кристаллизации с целью стабилизации концентрации кадмия в расплаве целесообразно осуществлять только в случае изменяющейся температуры расплава на горячем конце лодочки. Во многих методиках направленной кристаллизации из расплава температура горячей области расплава постоянна в процессе роста кристалла и поэтому выбор наименьшего оптимального градиента температуры однозначно обеспечит однородное распределение концентрации носителей заряда по длине слитка и хорошие условия кристаллизации.

Список литературы

- [1] D.J. Lawson. J. Appl. Phys., **22**, 1444 (1951); D.J. Lawson. J. Appl. Phys., **23**, 493 (1952).
- [2] I.T. Tdmund, R.F. Broom, F.A. Cunnel. Services Electron. Res. Lab. Techn. J., **6**, 123 (1957).
- [3] J. Boomgard. Phil. Res. Rep., **12**, 127 (1957).
- [4] E.P. Stambaugh, I.F. Miller, R.C. Himes. *Metallurgy of Elemental and Compound Semiconductors* (N.Y., Intersci Publ., 1961) v. 6, p. 317.
- [5] L.R. Weisberg, F.D. Rost, P.G. Herkert. *Properties of Elemental and Compound Semiconductors* (N.Y., Intersci Publ., 1960) v. 5, p. 25.
- [6] D.M. Heinz, E. Banks. J. Chem. Phys., **24**, 381 (1956).

- [7] О.А. Матвеев, С.В. Прокофьев, Ю.В. Рудь. Изв. АН СССР. Неорг. матер., 5, 1175 (1969).
- [8] V.P. Karpenko, P.G. Kasherininov, J.A. Matveev et al. Proc. Int. Symp. on CdTe as material for Gamma-ray detectors (Strasbourg, France, 1971) p. III-1.
- [9] N.R. Kyle. Proc. Int. Symp. on CdTe as material for Gamma-ray detectors (Strasbourg, France, 1971) p. IV-1.
- [10] R. Triboulet. Proc. Int. Symp. on CdTe as material for Gamma-ray detectors (Strasbourg, France, 1971) p. V-1.
- [11] P. Rudolph, M. Muhlberg. J.Mater. Sci. Engineer. B, 16, 8 (1993).
- [12] Ф. Крекер. Химия несовершенных кристаллов (М., Мир, 1969) с. 654.
- [13] K. Zanio. Cadmium Telluride, Semiconductors and semimetals (N.Y., Acad. Press, 1978) v. 13, p. 230.
- [14] О.А. Матвеев, А.И. Терентьев. ФТП, 27, 1694 (1993).
- [15] Р. Лодиз, Р. Ркер. Рост монокристаллов (М., Мир, 1974).
- [16] В.М. Глазов, Н.Н. Чичевская, Н.Н. Глаголева. Жидкие полупроводники (М., Наука, 1967) с. 242.
- [17] Й. Джалурия. Естественная конвекция (М., Мир, 1983).
- [18] Г.З. Гершунин, Е.М. Жуховицкий, А.А. Непомнящий. Устойчивость конвективных течений (М., Наука, 1989) с. 318..
- [19] А.Г. Кидяшкин. Гидромеханика и процессы переноса в невесомости (Свердловск, УНЦ АН СССР, 1983) с. 126.
- [20] Полупроводники, под ред. Н.Б. Хеннея (М., Иностр. лит., 1962).

Редактор Т.А. Полянская

A particularity in growing CdTe crystals from the melt

C.A. Matveev, A.I. Terent'ev

A.F.Ioffe Physicotechnical Institute, Russian Academy of Sciences, 194021, St.Petersburg,
Russia